

越波と遡上波、および反射波との相関性について
—(重複波水深領域)—

中部工業大学 正員 高田 彰

1. まえがき

堤体に波が衝突するとき壁体の法勾配の緩急によって遡上波、反射波および越波の状況が著しく異なる。本研究では重複波水深領域の波を対象にして壁体の法勾配が変化することによって遡上高、反射率、および越波水量にどのような影響を及ぼすかを実験的に明らかにする。さらに越波水量と遡上高の関連性および越波水量と反射率の関連性を比較して相互の現象の位置づけを定量的に示す。

2. 実験方法

実験は長さ 21.4 m、高さ 0.52 m、幅 0.30 m の可傾式造波水路で行った。実験条件は図-1 に示すように水路勾配を水平 ($\tan \alpha = 0$) とし、一樣水深 $h = 21$ cm、堤体法勾配 $\tan \theta = 1/\cot \theta = 1/6 \sim 1/5$ 、および静水位上の壁体天端高 $H_c = 9.0$ cm = const. とした。なお壁面はラワン材で作り支点は蝶番を取付けた。

実験波は $H_o/L_o = 0.02$ ($T = 1.6$ sec, $H_o = 7.6$ cm) の波、 $H_o/L_o = 0.03$ ($T = 1.2$ sec, $H_o = 7.2$ cm) の波および $H_o/L_o = 0.05$ ($T = 1.0$ sec, $H_o = 7.9$ cm) の波の 3 種類である。

遡上高および越波水量の測定値は第 4 波～第 8 波の 5 波の平均値を採用し、遡上波形の面積は第 6 波を対象にして写真測定より求めた。また反射率は Miche の理論値を用いたことにした。

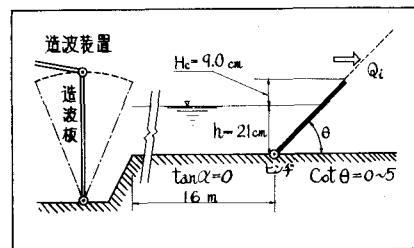
3. 実験結果とその考察

(1) 遡上高と法面勾配の関係

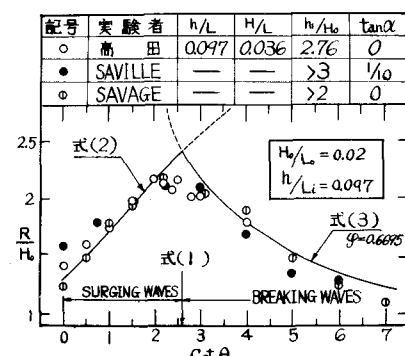
実験の結果、 R/H_o と $\cot \theta$ の関係は、 $H_o/L_o = 0.02$ の波について図-2、 $H_o/L_o = 0.05$ の波については図-3 に示される。いずれも Saville および Savage の実験値を併記したが著者の実験値と比較するとほど妥当な値を示していることが分る。また図-2 および図-3 に任意の H_o/L_o の波に対して遡上高の最大になる法勾配 ($\tan \theta_c$) が存在することも明らかである。その θ_c の値は次式で求めることができることが妥当であることが分った。

$$\sqrt{\frac{2\theta_c}{\pi}} \cdot \frac{\sin^2 \theta_c}{\pi} = \left(\frac{H_o}{L_o}\right)_c \quad \dots \dots \dots \quad (1)$$

この式は壁面で全反射 ($\gamma_{fr} = 1.0$) を生ずる最緩勾配を表わす Miche の理論式と一致している。すなわち、surging waves を生ずる壁面では、 $\cot \theta$ の大きいほど R/H_o は大きくなり、



(図-1) 実験条件



(図-2) $H_o/L_o = 0.02$ の R/H_o と $\cot \theta$ の関係

breaking waves を生ずる壁面では $\cot \theta$ の大きいほど R/H_0 は減少する。

図-2 および 3 の図中に Miche の理論式 (surging waves 領域の R/H_0 の式)、および著者の実験式 (breaking waves 領域の R/H_0 の式)を併記して実験値と比較したが、両者は実験値と、かなり良い近似値を示しており、逆上の現象を適確に表現しているように思われる。

すなわち、surging waves ($\sqrt{\frac{2\theta}{\pi}} \cdot \frac{\sin^2 \theta}{\pi} \geq H_0/L_0$) の R/H_0 は次式で示される。

$$\frac{R}{H_0} = \sqrt{\frac{\pi}{2\theta}} \cdot \sqrt{\frac{\operatorname{Sinh} \frac{4\pi h}{L} \cdot \operatorname{Coth} \frac{2\pi h}{L}}{\operatorname{Sinh} \frac{4\pi h}{L} + \frac{4\pi h}{L}}} + \pi \frac{H_0}{L_0} \cdot \frac{\operatorname{Sinh} \frac{4\pi h}{L}}{\operatorname{Sinh} \frac{4\pi h}{L} + \frac{4\pi h}{L}} \left(\operatorname{Coth} \frac{2\pi h}{L} \right)^2 \\ \times \left\{ 1 + \frac{3}{(4 \operatorname{Sinh} \frac{2\pi h}{L})^2} - \frac{1}{4(\operatorname{Cosh} \frac{2\pi h}{L})^2} \right\} \quad (2)$$

breaking waves ($\sqrt{\frac{2\theta}{\pi}} \cdot \frac{\sin^2 \theta}{\pi} < H_0/L_0$) の R/H_0 は次式で示される。

$$\frac{R}{H_0} = \frac{\varphi}{\sqrt{\frac{H_0}{L_0}} \left(\operatorname{Coth} \frac{4\pi h}{L} \right)^{1/4} \left(\operatorname{Coth} \theta \right)^{2/3}} \quad (3)$$

式中、 φ は次式で示される。

$$\varphi = \sqrt{\frac{\pi}{2\theta_c}} \cdot \sqrt{\frac{\operatorname{Sinh} \frac{4\pi h}{L} \operatorname{Coth} \frac{2\pi h}{L}}{\operatorname{Sinh} \frac{4\pi h}{L} + \frac{4\pi h}{L}}} + \pi \frac{H_0}{L_0} \phi\left(\frac{h}{L}\right) \\ \times \sqrt{\frac{H_0}{L_0}} \left(\operatorname{Coth} \frac{4\pi h}{L} \right)^{1/4} \left(\operatorname{Cot} \theta_c \right)^{2/3} \quad (4)$$

$$\phi\left(\frac{h}{L}\right) = \frac{\operatorname{Sinh} \frac{4\pi h}{L}}{\operatorname{Sinh} \frac{4\pi h}{L} + \frac{4\pi h}{L}} \left(\operatorname{Coth} \frac{2\pi h}{L} \right)^2$$

$$\times \left\{ 1 + \frac{3}{(4 \operatorname{Sinh} \frac{2\pi h}{L})^2} - \frac{1}{4(\operatorname{Cosh} \frac{2\pi h}{L})^2} \right\} \quad (5)$$

実験条件における φ の値を求める。

$H_0/L_0 = 0.02, h/L = 0.097$ では $\varphi = 0.6695$

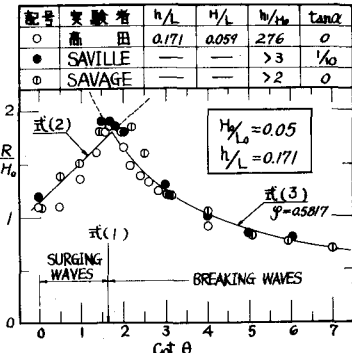
$H_0/L_0 = 0.03, h/L = 0.136$ では $\varphi = 0.5794$

$H_0/L_0 = 0.05, h/L = 0.171$ では $\varphi = 0.5817$

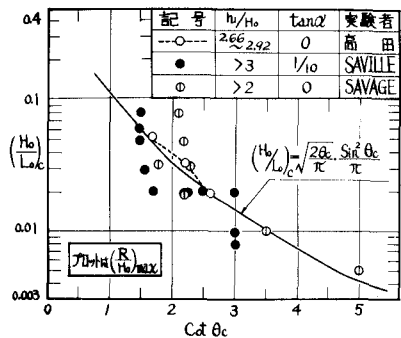
いま $h/L \rightarrow \infty$ の深水波を考えると式(2), (3)および(4)は次式のようになる。

$$R/H_0 = \sqrt{\pi/2\theta} + \pi \cdot H_0/L_0; \text{(非碎波)} \quad (6)$$

$$R/H_0 = \frac{\varphi}{\sqrt{H_0/L_0} \cdot (\operatorname{Cot} \theta)^{2/3}}; \text{(碎波)} \quad (7)$$



(図-3) $H_0/L_0 = 0.05$ の R/H_0 と $\cot \theta$ の関係



(図-4) $(R/H_0)_{\max}$ を生ずる条件

式中 $S_0 = \sqrt{\frac{H_0}{L_0}} \left(\cot \theta_c \right)^{\frac{1}{3}} \left\{ \sqrt{\frac{\pi}{2\theta_c}} + \pi \frac{H_0}{L_0} \right\}$ ----- (8)

$H_0/L_0 = 0.02$ では $S_0 = 0.5678$, $H_0/L_0 = 0.03$ では $S_0 = 0.5731$,
および $H_0/L_0 = 0.05$ では $S_0 = 0.5816$ である。

図-4は最大潮上高 (R/H_0)_{max}を生ずるための (H_0/L_0) と,
 $\cot \theta_c$ の関係を実験で調べ、式(1)と比較したものである。
図中には著者の実験の他に, Saville および Savage の実験
値もプロットしたが式(1)はかなり良く近似しており、実際の
現象を適確に説明しているように思われる。したがって式(1)
を最大潮上高を生ずる条件式とみなすことができる。

(2) 波の反射率

Miche の線形理論によれば、反射率 $r (= H_r/H_i)$ は、次式で
示される。

$$r = \frac{2\theta}{\pi} \cdot \frac{\sin^2 \theta}{\pi} \cdot \frac{L_0}{H_0} \quad \text{--- (9)}$$

式中 S_r : 反射係数 (≤ 1)

一方、室田博士(阪大)の実験によれば、Miche の式は、か
なり良く反射率の現象を説明できることを検証している。それ
ゆえ本研究では反射率の実験を省略し、式(9)で求め、図-5,
6 および 7 の図中に示した。

(3) 越波水量と潮上高、および反射率との関連性

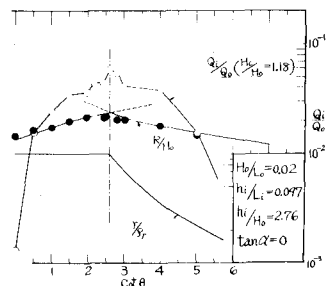
天端高を一定にして $\cot \theta$ を変化させた場合の越波水量の実験
を行ったが、潮上高との相関性および反射率との相関性を比較
検討するために示したもののが図-5, 6 および 7 に示される。

ただし、越波水量 Q_i を深水波の一周期の移動水量 $Q_0 = \frac{H_0 L_0}{2\pi}$
との割合 $Q_i/Q_0 = 2\pi Q_i / (H_0 L_0)$ で示した。

これらの図より明らかのように越波水量の最大になる法勾配
が存在し、その法勾配は最大潮上高を生ずる法勾配、および全
反射 ($r/S_r = 1.0$) を生ずる最緩法勾配と一致する。換言すれば
、surging waves と breaking waves の境界において越波
水量および潮上高が最大になることが明らかになった。したが
って重複波水深領域において最大越波水量および最大潮上高
を生ずる壁体の傾斜角は、式(1)で表わすことができる。

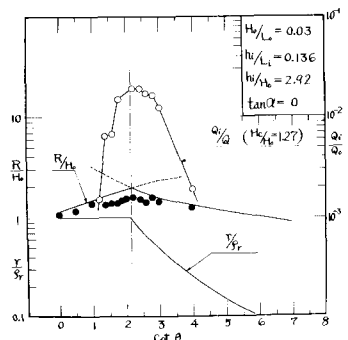
surging waves の範囲では $Q_i/Q_0, R/H_0$ は θ が小さくなるほど増大し、相関性が認められるが r/S_r は const. (=1.0) とな
り相関性はない。一方、breaking waves の範囲では $Q_i/Q_0,$

$$\begin{aligned} \frac{R}{H_0} &= \sqrt{\frac{\pi}{2\theta}} \frac{H}{H_0} + f(\frac{H_0}{L_0}, \frac{h_i}{L_0}) \\ \frac{R}{H_0} &= \sqrt{\frac{H}{L_0}} \left(\tanh \frac{H}{L_0} \right)^{\frac{1}{3}} (\cot \theta)^{\frac{1}{3}} \end{aligned}$$



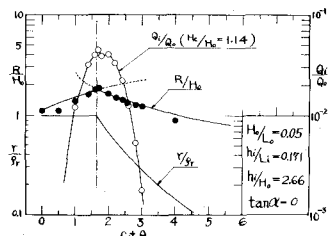
(図-4) $Q_i/Q_0, R/H_0, r/S_r$ の相関性
($H_0/L_0 = 0.02$ の波)

$$\begin{aligned} \frac{R}{H_0} &= \sqrt{\frac{\pi}{2\theta}} \frac{H}{H_0} + f(\frac{H_0}{L_0}, \frac{h_i}{L_0}) \\ \frac{R}{H_0} &= \frac{0.5794}{\sqrt{\frac{H}{L_0}} \left(\tanh \frac{H}{L_0} \right)^{\frac{1}{3}} (\cot \theta)^{\frac{1}{3}}} \end{aligned}$$



(図-5) $Q_i/Q_0, R/H_0, r/S_r$ の相関性
($H_0/L_0 = 0.02$ の波)

$$\begin{aligned} \frac{R}{H_0} &= \sqrt{\frac{\pi}{2\theta}} \frac{H}{H_0} + f(\frac{H_0}{L_0}, \frac{h_i}{L_0}) \\ \frac{R}{H_0} &= \frac{0.5817}{\sqrt{\frac{H}{L_0}} \left(\tanh \frac{H}{L_0} \right)^{\frac{1}{3}} (\cot \theta)^{\frac{1}{3}}} \end{aligned}$$



(図-6) $Q_i/Q_0, R/H_0, r/S_r$ の相関性
($H_0/L_0 = 0.03$ の波)

R/H_0 および $\cot \theta_c$ はともに θ が小さくなるほど減少するので $\cot \theta$ の減少関数として相關性が認められる。

図-8は、最大越波水量を生ずる (H_0/L_c) と $\cot \theta_c$ の条件の実験を行い、式(1)と比較したものである。これからも明らかのように、両者はかなり良い近似を示している。ゆえに式(1)を最大越波水量を生ずる条件式として差支えないようと思われる。

(4) 越波水量と逆上波形の相關性

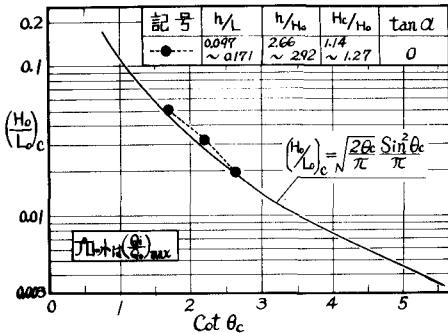
図-9に示すように越波させない無限法勾配の逆上波の実験を行い、逆上波が最高に昇りきったときの仮想天端高（静水位上 $H_c = 9.0 \text{ cm}$ ）に相当する水平面より上部の逆上波形の面積の部分が越波すると仮定し、その考え方の妥当性を比較検討した。写真測定（シャッターレート $1/250$ ）による波形面積の測定と実際に越波させた場合の比較が図-10に示されている。

これにより両者はかなり良く近似しており、このような考え方にはじめてあることが分った。すなわち、越波させない場合の逆上波形が理論的（特性曲線法など）および実験的に求めることができれば天端に相当する仮想天端面より上の逆上波形の面積を計算することによって越波水量を推定することができる。それゆえ、より詳細に逆上波形を調べる研究が重要と考えられるし、その成果によって、越波水量の計算式を導くことも可能と考えられる。しかしこのような考え方には、波の実質部分が連続体として越波する場合にだけ適用できるものであって大小の水塊の越波については別に考える必要がある。

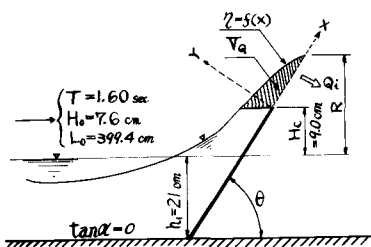
4. 結論

重複波水深における越波、逆上波および反射波の関連性について実験的に調べた結果、越波水量と逆上高は同様の傾向を示しており相關性が認められる。越波水量と反射率はsurging wavesの領域では関連性はないが breaking wavesの領域では相關性が認められる。又、逆上波形の面積を求ることによって越波水量の推定可能なことが明白になった。主な実験結果を次に示す。

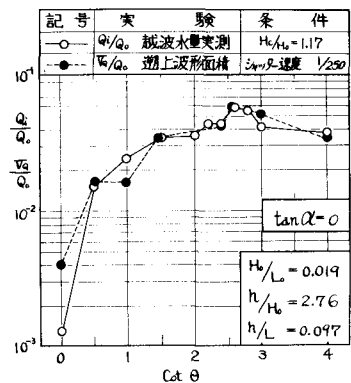
(i) surging waves 領域の逆上高と壁面傾斜角の関係は式(2)、breaking waves のそれは式(3)で示される。(ii) 越波水量および逆上高を最大にする条件は一致しており、その条件式は式(1)で示される。又、全反射 ($\beta_{sp}=1.0$) を生ずる最緩傾斜角の条件式と一致する。(iii) 越波させない場合の逆上波形の仮想天端より上の波形面積と実際に越波させた場合の実測値とはかなり良い近似が得られる。



(四-8) $(Q_i/Q_o)_{\max}$ を生ずる条件



(四-9) 逆上波形の面積



(四-10) 逆上波形面積と越波水量実測値との比較